

Факультет Фундаментальной подготовки

Кафедра Теории электрических цепей и связи (ТЭЦ и С)

располагается на 3,5 и 6-м этажах

В аудиториях №607, №609, №611, 510,512, 516.

Дисциплина

Общая теория связи

Лектор:

Заведующий кафедрой
Шумаков Павел Петрович

Лекция № 2

Векторные и спектральные модели сигналов в инфотелекоммуникации

Учебные вопросы:

- 1. Векторные модели сигналов. Обобщенный ряд Фурье.**
- 2. Спектры периодических сигналов.**
- 3. Спектры непериодических сигналов.**
- 4. Теоремы о спектрах.**

Литература:

Стр. 28..37; 37..40; 40..52

Используя MathCAD рассчитать и построить энергетические спектры для импульсных сигналов из таблицы 2.1 на стр 45. Четные номера : треугольный (2) и косинусоидальный (3). Нечетные номера : Прямоугольный (1) и SINC-образный (5).

Используя MathCAD рассчитать и построить энергетические спектры для импульсных сигналов вида:

Четные номера : пилообразный возрастающий.

Нечетные номера : пилообразный ниспадающий.



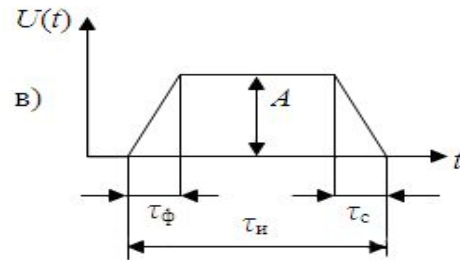
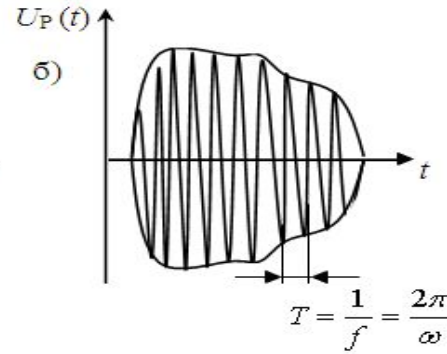
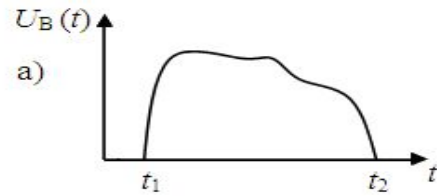
Задание на самостоятельную отработку

Теория электрической связи :учебное пособие для студентов высших учебных заведений

/Биккенин Р. Р., Чесноков М. Н. –М.:Издательский центр «Академия», 2010.

-28-37;37-40;40-52 с.

Импульсные сигналы: а) видеоимпульсы; б) радиоимпульсы



$$U_P(t) = U_B(t) \cos(\omega t + \varphi)$$

$U_B(t)$ — огибающая радиоимпульса

ω — опорная (несущая) частота

φ — фаза

Вопрос №1. Векторное представление сигнала. Понятие базиса, нормы, скалярного произведения сигналов, ортогональности сигналов, ортонормированного базиса сигналов.

Сигналы могут быть одномерными $U_1(t)$, и многомерными $\{U_N(t)\}$,

Многомерный (векторный) - сигнал образованный упорядоченным множеством одномерных сигналов $V(t) = \{U_1(t), U_2(t), \dots, U_N(t)\}$,
 N — размерность сигнала.

Пространство сигналов

называется **пространством** сигналов. Структура пространства сигналов определяется алгебраическими и геометрическими свойствами.

Алгебраическая структура пространства сигналов

Множество сигналов образует **Вещественное Линейное Пространство Сигналов L** если справедливы следующие аксиомы:

1. Все сигналы при любом времени t принимают только вещественные значения.

2. Сумма любого числа сигналов данного множества также принадлежит этому множеству, при чем эта сумма подчиняется свойствам: для $x = S_i(t)$ $y = S_j(t)$

✓ $x + y = y + x$ — коммутативность;

✓ $x + (y + z) = (x + y) + z$ — ассоциативность;

✓ $x + \emptyset = x$, где \emptyset — нулевой элемент;

✓ $x + (-x) = 0$, где $-x$ — противоположный элемент.

3. Умножение сигнала на скаляр (число) α определяет новый сигнал принадлежащий исходному множеству $\alpha s_i(t) \in M$.

4. Операция умножения на скаляр подчиняется свойствам:

□ $\alpha(bx) = (\alpha b)x$

□ $1x = x$

□ $(\alpha + b)x = \alpha x + bx$

□ $\alpha(x + y) = \alpha x + \alpha y$

- Если a будет произвольным комплексным числом, то множество сигналов образует
- Комплексное Линейное Пространство Сигналов S .
- Элементы структурированного пространства в математике называются точками, функциями, **векторами.**

Геометрическая структура пространства сигналов

Норма сигнала .

Эквивалентом длины вектора для аналоговых и дискретных сигналов является *норма*

Для вещественного сигнала норма определяется :
$$\|s(t)\| = \sqrt{\int_T s^2(t) dt}$$

Для комплексного сигнала норма определяется :
$$\|s(t)\| = \sqrt{\int_T s(t) s^*(t) dt}$$

Норма подчиняется следующим аксиомам:

$$\|s(t)\| \geq 0 \quad \|\alpha \cdot s(t)\| = \|\alpha\| \cdot \|s(t)\| \quad \|s_1(t) + s_2(t)\| \leq \|s_1(t)\| + \|s_2(t)\|$$

Если \mathbf{S} — это вектор, то норма — это его длина или расстояние от конца вектора до начала координат.

Энергия сигнала

Пусть $s(t)$ — напряжение на резисторе с сопротивлением в 1 Ом, тогда $s^2(t)$ — мгновенная мощность, а квадрат нормы — есть энергия, выделяемая на резисторе за время T .

$$\|s(t)\|^2 = \int_T s^2(t) dt = E_s$$

Геометрическая структура пространства сигналов

Метрика пространства сигналов

Для усовершенствования структуры пространства вводится *расстояние* между его элементами, которое называют также *метрикой*.

Каждой паре элементов пространства ставится в соответствие положительное число, которое трактуется как расстояние между элементами. В качестве расстояния используется функционал $d(x,y) \in \mathbb{R}$, называемый *метрикой* и обладающий следующими свойствами:

- $d(x,y) \geq 0$ и $d(x,y) = 0$, только если $x = y$;
- $d(x,y) = d(y,x)$ – свойство симметрии;
- $d(x,y) < d(x,z) + d(z,y)$ – неравенство треугольника.

В качестве метрики можно выбрать величину

$$d(x, y) = \|x - y\|$$

Линейное метрическое пространство с квадратичной нормой обозначается:

$$\text{Вещественное } \mathbf{L}_2 \quad \text{комплексное } \mathbf{C}_2$$

Геометрическая структура пространства сигналов

Скалярное произведение сигналов

Найдем энергию суммы двух сигналов $u(t)$ и $v(t)$.

$$\|u(t) + v(t)\|^2 = \int_T u(t)^2 dt + \int_T v(t)^2 dt + 2 \int_T u(t)v^*(t) dt$$

Если сигналы рассматривать как вектора U и V получим

$$|U + V|^2 = |U|^2 + |V|^2 + 2 \cdot |U| \cdot |V| \cos(\varphi)$$

Где $(U, V) = |U| \cdot |V| \cos(\varphi)$ скалярное произведение двух векторов
 $\varphi = \angle UV$ угол между векторами

Сопоставляя сигналы с векторами в пространстве L_2 получим что скалярное произведение двух сигналов

$$(u(t), v(t)) = \int_T u(t)v^*(t) dt = \|u(t)\| \cdot \|v(t)\| \cdot \cos(\varphi)$$

Свойства скалярного произведения сигналов

Для комплексных сигналов скалярное произведение должно удовлетворять следующим условиям:

$$(x, y) = (y, x)^*, \text{ где знак } * \text{ означает комплексно сопряженную величину;}$$

$$(ax, y) = a(x, y);$$

$$(x_1 + x_2, y) = (x_1, y) + (x_2, y);$$

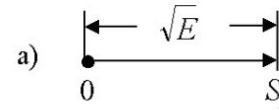
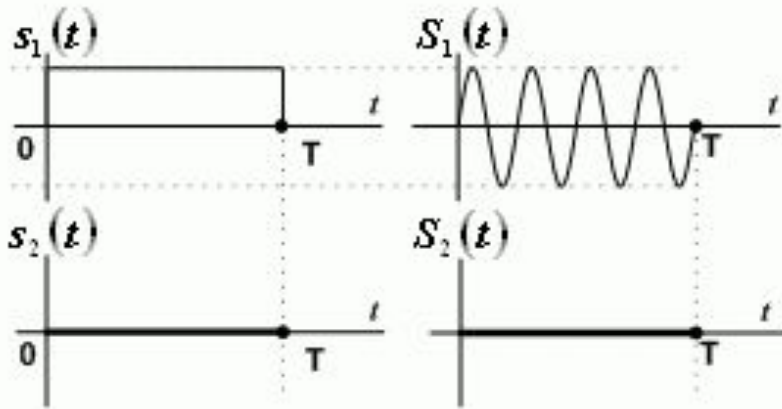
$$(x, x) \geq 0.$$

Ортогональность двух сигналов

Если $\varphi = \angle UV = 90^\circ \left[\text{а́дàйóñî â} \right] = \frac{\pi}{2} \left[\text{òàäè àí} \right]$

$$\cos\left(\frac{\pi}{2}\right) = 0$$

то скалярное произведение двух сигналов равно нулю, значит взаимная энергия этих сигналов равна нулю, а такие сигналы - **ортогональные**.



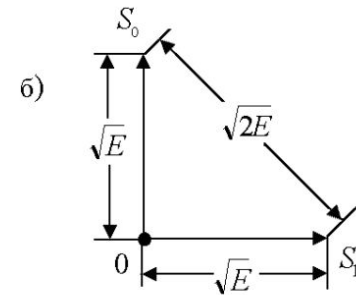
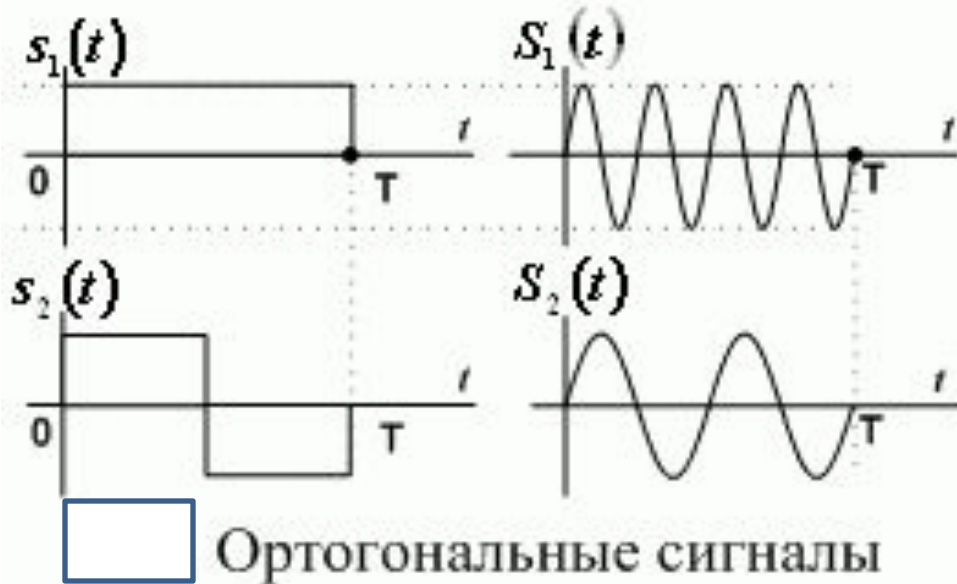
Сигналы с пассивной паузой

Если $S_2(t) = 0$ то имеем **систему передачи с пассивной паузой**

$$S_1(t) = U_c \sin(\omega_0 t + \phi), \quad t \in [0, T], \quad S_1(t) = 0$$

$$(S_0, S_1) = \frac{1}{T} \int_0^T S_0(t) S_1(t) dt = 0$$

$$d^2(S_0(t), S_1(t)) = \int_0^T S_0^2(t) dt = E_1$$



$$S_1(t) = U_c \cos(\omega_1 t + \phi_1), \quad t \in [0, T], \quad S_2(t) = U_c \cos(\omega_2 t + \phi_2).$$

Пусть $\omega_1 = 2\pi k_1 / T$, $\omega_2 = 2\pi k_2 / T$, где k_1 и k_2 — целые числа, ϕ_1 и ϕ_2 принимают любые значения. Тогда:

$$(S_1, S_2) = \frac{1}{T} \int_0^T S_1(t) S_2(t) dt = \frac{1}{T} U_1 \cdot U_2 \int_0^T \cos\left(\frac{2\pi}{T} k_1 t + \phi_1\right) \cdot \cos\left(\frac{2\pi}{T} k_2 t + \phi_2\right) dt = 0$$

$$d^2(S_1(t), S_2(t)) = \int_0^T [S_1(t) - S_2(t)]^2 dt = \int_0^T S_1^2(t) dt + \int_0^T S_2^2(t) dt - 2 \int_0^T S_1(t) S_2(t) dt = E_0 + E_1 = 2E,$$

Базисные сигналы

В линейном пространстве сигналов можно определить совокупность **линейно независимых** сигналов $\{e_i(t)\}$ таких, что весовая сумма $\sum \alpha_i e_i = 0$ возможна только при одновременном равенстве нулю всех коэффициентов α . Эти сигналы называются **координатным базисом**. **Базисные сигналы попарно ортогональные.**

Обобщенный ряд Фурье

Если выбраны сигналы координатного базиса, то любой сигнал $s(t)$ в линейном пространстве может быть представлен **взвешенной суммой ортогональных сигналов координатного базиса**

$$\sum C_i e_i(t) = s(t)$$

Такое представление сигнала называется **обобщенный ряд Фурье**.

Французский математик Жан Батист Жозеф Фурье (1768-1830)



Весовые коэффициенты этого ряда рассчитываются как скалярное

произведение сигнала $s(t)$ и соответствующего i -того базисного сигнала $e_i(t)$:

$$C_i = (s(t), e_i(t)) = \frac{1}{\|e_i\|^2} \int_T s(t) e_i^*(t) dt = \|s(t)\| \cdot \|e_i(t)\| \cdot \cos(\varphi) = \|s(t)\| \cdot \cos(\varphi)$$

Совокупность коэффициентов обобщенного ряда Фурье $\{C_i\}$ называется **спектром** сигнала $s(t)$ в базисе ортогональных сигналов $\{e_i(t)\}$

Выводы по первому вопросу

- 1. Сигналы в радиотехнике рассматриваются как проявления электромагнитного поля в элементах радиотехнических цепей в виде колебаний напряжения или тока.**
- 2. Обобщенной математической моделью сигналов является их описание как элементов функционального пространства (векторов).**
- 3. вещественные и комплексные сигналы можно рассматривать как элементы множества векторного линейного нормированного метрического пространства.**
- 4. Скалярное произведение двух сигналов по физическому смыслу представляет собой взаимную энергию между двумя сигналами, действующими суммарно на сопротивление в один Ом.**
- 5. Скалярное произведение двух сигналов определяется углом между ними. Если угол между двумя сигналами равен 90 градусов то скалярное произведение равно нулю, и такие сигналы являются ортогональными.**
- 6. Набор ортогональных сигналов называется координатным базисом пространства сигналов.**
- 7. При известном базисе, любой сигнал можно представить взвешенной суммой сигналов ортогонального базиса в виде обобщенного ряда Фурье. Весовые коэффициенты этого ряда называются спектром сигнала.**

Вопрос 2. Спектры периодических сигналов.

- Периодическим называют сигнал, мгновенные значения которого повторяются через равные промежутки времени – T
- Модель такого сигнала имеет вид $s(t) = s(t + k \cdot T)$, где T - период повторения, а $F=1/T$ -частота повторения периодического сигнала (ПС)
- Основной математический аппарат спектрального анализа таких сигналов – ряд Фурье в базисе гармонических сигналов с кратными частотами.

Формы спектрального представления периодического сигнала

Квадратурная

$$s(t + k \cdot T) = s_T(t) = \frac{a_0}{2} + \sum_{k=1}^{\infty} \left\{ a_k \cos\left(\frac{2\pi}{T}kt\right) + b_k \sin\left(\frac{2\pi}{T}kt\right) \right\}$$

$$a_k = \frac{1}{T} \int_{-T/2}^{+T/2} S(t) \cos\left(\frac{2\pi}{T}kt\right) dt$$

$$b_k = \frac{1}{T} \int_{-T/2}^{+T/2} S(t) \sin\left(\frac{2\pi}{T}kt\right) dt$$

$$\frac{a_0}{2} = \frac{1}{T} \int_{-T/2}^{+T/2} S(t) dt$$

Амплитудно – фазовая форма ряда Фурье

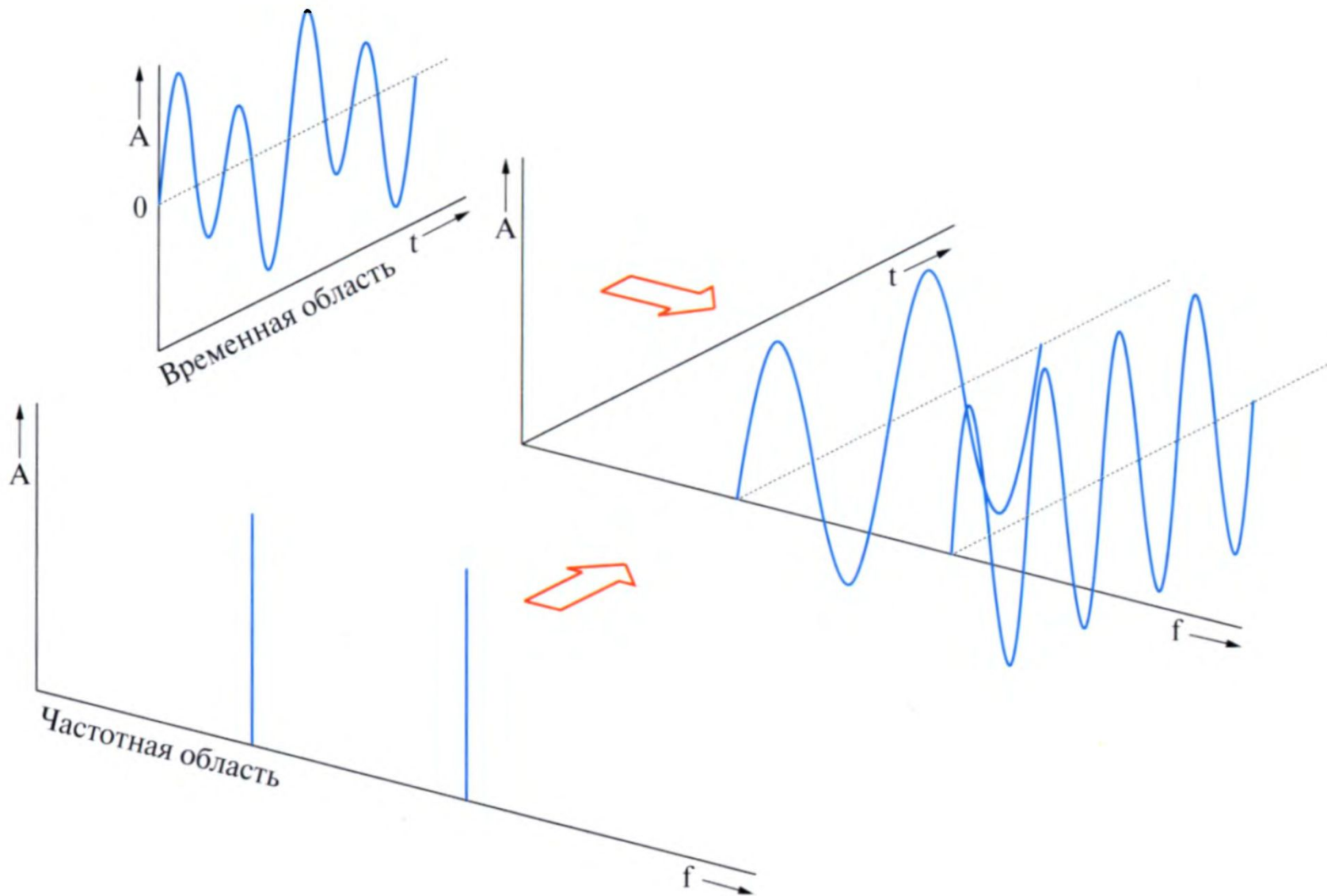
$$s_T(t) = s(t - k \cdot T) = \frac{a_0}{2} + \sum_{k=1}^{\infty} A_k \cos(x_k - \varphi_k)$$

$$a_k \cos x_k + b_k \sin x_k = \sqrt{a_k^2 + b_k^2} \cos(x_k - \varphi_k)$$

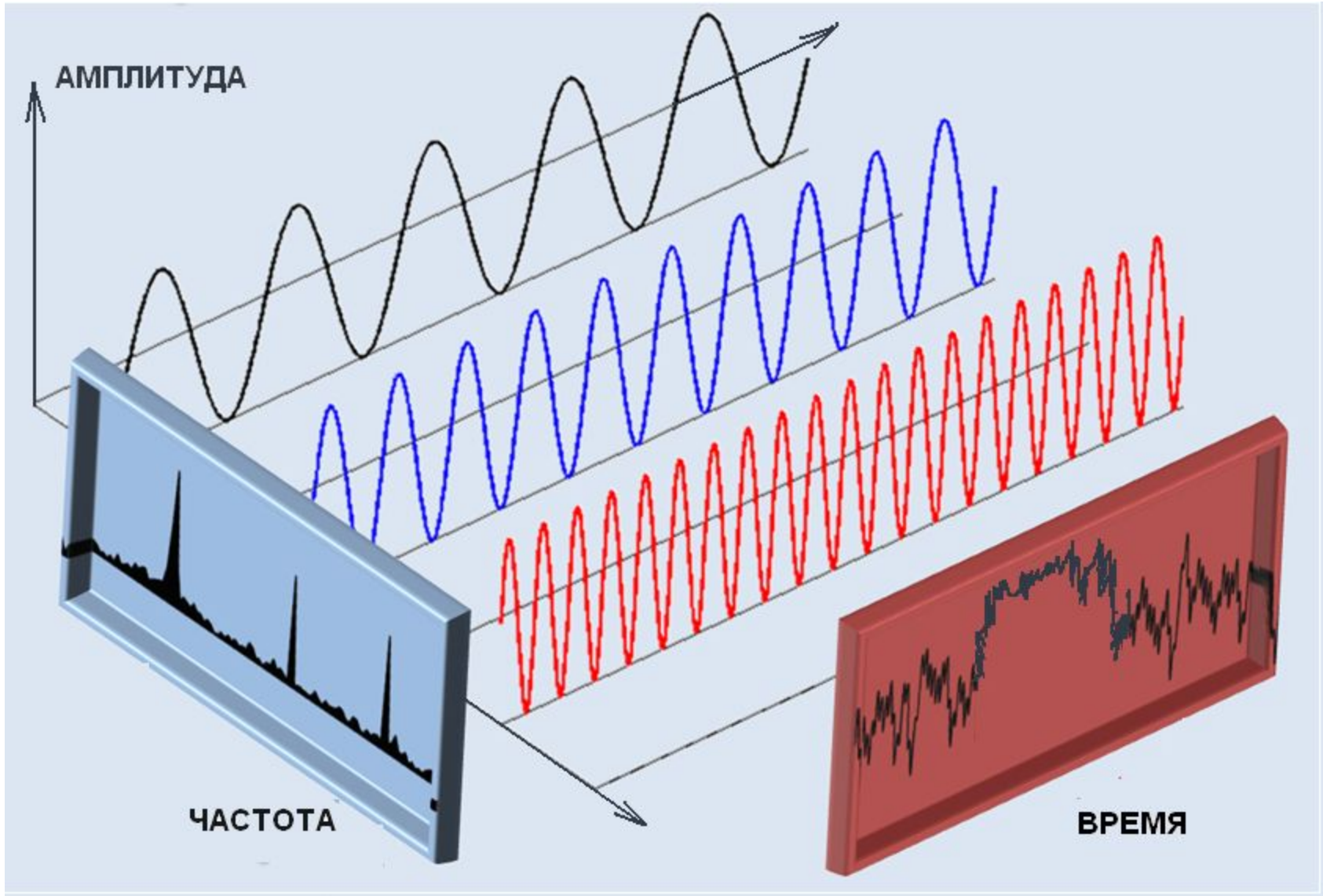
$$x_k = k \cdot \frac{2\pi}{T} \cdot t = k \cdot 2\pi f_1 \cdot t = k \cdot \omega_1 \cdot t = \omega_k t;$$

$$\sqrt{a_k^2 + b_k^2} = A_k \quad \varphi_k = \arctg \frac{b_k}{a_k}$$

$$a_k = A_k \cos(\varphi_k) \quad b_k = -A_k \sin(\varphi_k)$$



2. Сигналы, наблюдаемые во временной и частотной областях



Комплексная форма ряда Фурье

$$\cos x = \frac{e^{jx} + e^{-jx}}{2}$$

$$\sin x = \frac{e^{jx} - e^{-jx}}{j2}$$

$$s(t + k \cdot T) = \frac{a_0}{2} + \sum_{k=1}^{\infty} \left[\frac{a_k}{2} \left(e^{j\frac{2\pi}{T}t} + e^{-j\frac{2\pi}{T}t} \right) + \frac{b_k}{j2} \left(e^{j\frac{2\pi}{T}t} - e^{-j\frac{2\pi}{T}t} \right) \right] =$$

$$= \frac{a_0}{2} + \sum_{k=1}^{\infty} \frac{1}{2} (a_k - jb_k) e^{j\frac{2\pi}{T}t} + \sum_{k=1}^{\infty} \frac{1}{2} (a_k + jb_k) e^{-j\frac{2\pi}{T}t}$$

$$s(t + k \cdot T) = \frac{a_0}{2} + \sum_{k=1}^{\infty} \frac{1}{2} A_k e^{-j\varphi_k} e^{j\frac{2\pi}{T}kt} + \sum_{k=1}^{\infty} \frac{1}{2} A_k e^{j\varphi_k} e^{-j\frac{2\pi}{T}kt} = \sum_{k=-\infty}^{\infty} C_k e^{j\frac{2\pi}{T}kt}$$

Комплексная форма ряда Фурье

$$\dot{C}_k = \frac{A_k}{2} e^{j\varphi_k} = \frac{1}{T} \int_{-T/2}^{+T/2} S(t) e^{-j\frac{2\pi}{T}kt} dt$$

$$\dot{A}_k = a_k - jb_k, \quad \dot{A}_{-k} = a_k + jb_k$$

$$a_k = \frac{1}{2} (\dot{A}_k + \dot{A}_{-k}) \quad b_k = j \frac{1}{2} (\dot{A}_k - \dot{A}_{-k})$$

$$|C_k| = \frac{A_k}{2} - \hat{A} \times \tilde{N}$$

$$\varphi_k = \arg \dot{C}_k - \hat{O} \times \tilde{N}$$

АЧС – четная функция частоты (обладает симметрией в области положительных и отрицательных частот)

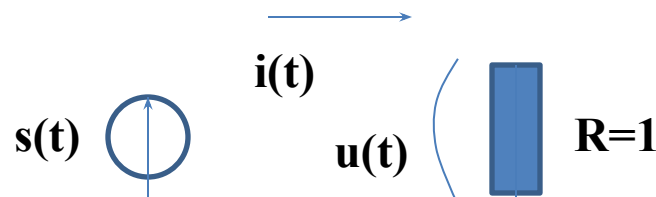
ФЧС – нечетная функция (обладает центральной симметрией)

Мощность и энергия периодического сигнала.

Основными энергетическими характеристиками вещественного сигнала $\mathbf{s}(t)$ являются его мощность и энергия.

Мгновенная мощность определяется как квадрат мгновенного значения $\mathbf{s}(t)$:

$$p(t) = u(t) \cdot i(t) = i(t)R \cdot i(t) = i^2(t) = \\ = u(t) \cdot \frac{u(t)}{R} = u^2(t) = s^2(t)$$



Энергия сигнала на интервале t_2, t_1 определяется как интеграл от мгновенной мощности:

$$E_s = \int_{t_1}^{t_2} p(t) dt = \int_{t_1}^{t_2} s^2(t) dt \quad \text{и} \quad t_2 - t_1 = T \quad E_s = \int_0^T p(t) dt = \int_0^T s^2(t) dt$$

Средняя мощность сигнала $\mathbf{s}(t)$ на интервале t_2, t_1 .

$$\frac{E_s}{t_2 - t_1} = \frac{1}{t_2 - t_1} \int_{t_1}^{t_2} s^2(t) dt = \overline{s^2(t)} \quad \text{и} \quad t_2 - t_1 = T \quad \frac{E_s}{T} = \frac{1}{T} \int_0^T s^2(t) dt = \overline{s^2(t)}$$

Равенство Парсеваля.

Периодические сигналы имеют дискретные спектры. Спектр периодического сигнала представляет собой совокупность гармонических сигналов с частотами, кратными частоте повторения сигнала. Амплитуды гармоник спектра зависят от временной формы, а начальные фазы от временной задержки.

Средняя мощность гармонического колебания за период его повторения пропорциональна квадрату действующего значения и не зависит от начальной фазы. Квадрат действующего значения гармонического сигнала равен половине квадрата амплитуды сигнала.

$$A_n^2 = \frac{A_{m_n}^2}{2}$$

Средняя за период повторения Энергия периодического сигнала определяется как интеграл от мгновенной мощности усредненный за период повторения.

$$E_{cp} = \frac{1}{T} \int_0^T s^2(t) dt = \left(\frac{a_0}{2}\right)^2 + \sum_{n=1}^{\infty} (a_n^2 + b_n^2) = \left(\frac{a_0}{2}\right)^2 + \sum_{n=1}^{\infty} A_n^2 = \sum_{n=-\infty}^{\infty} |C_n|^2$$

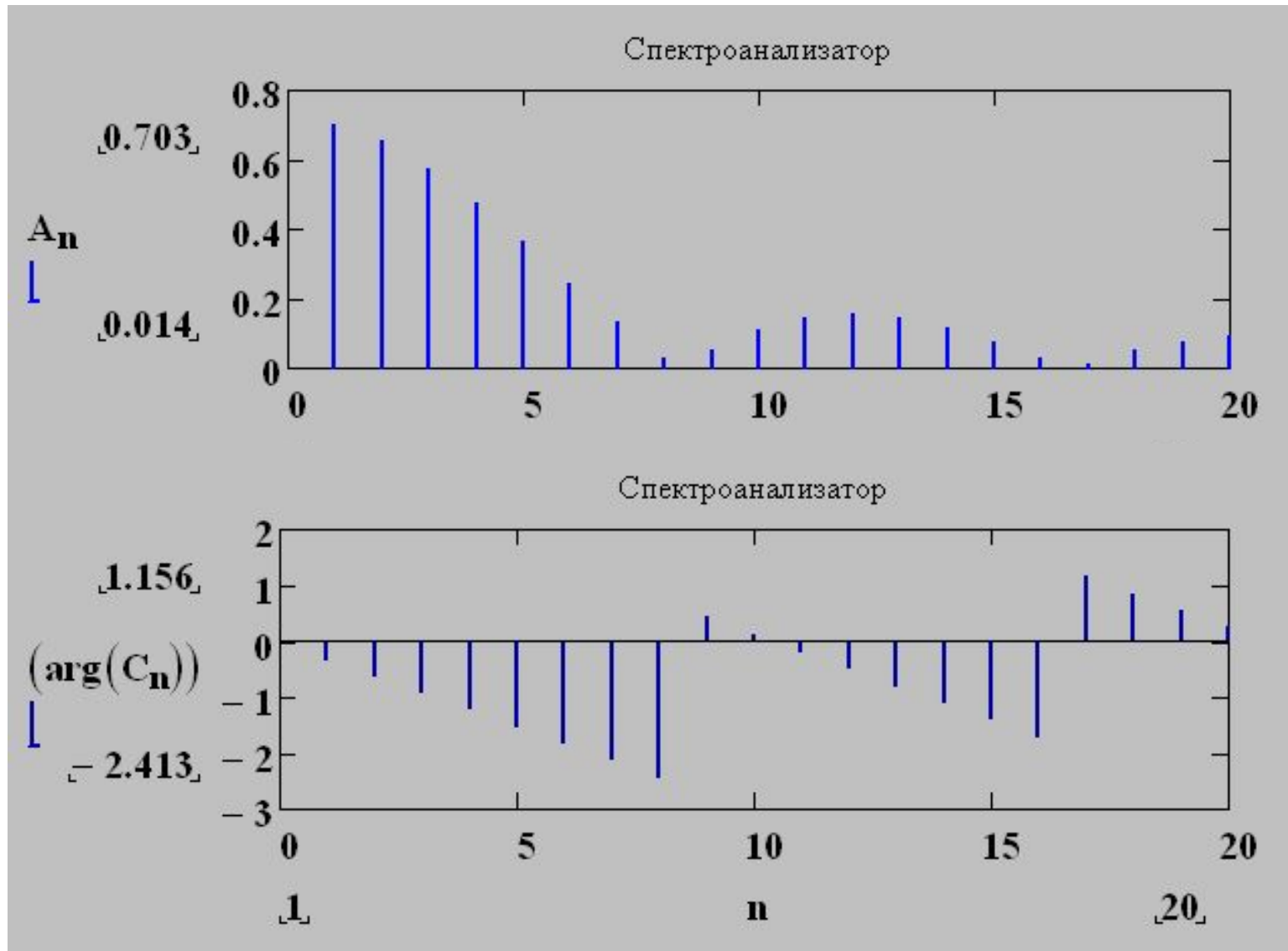
Энергия сигнала, представленного во временной области должна равняться сумме энергий всех его спектральных составляющих, т.е. сумме энергий постоянной составляющей и энергии всех гармоник спектра.

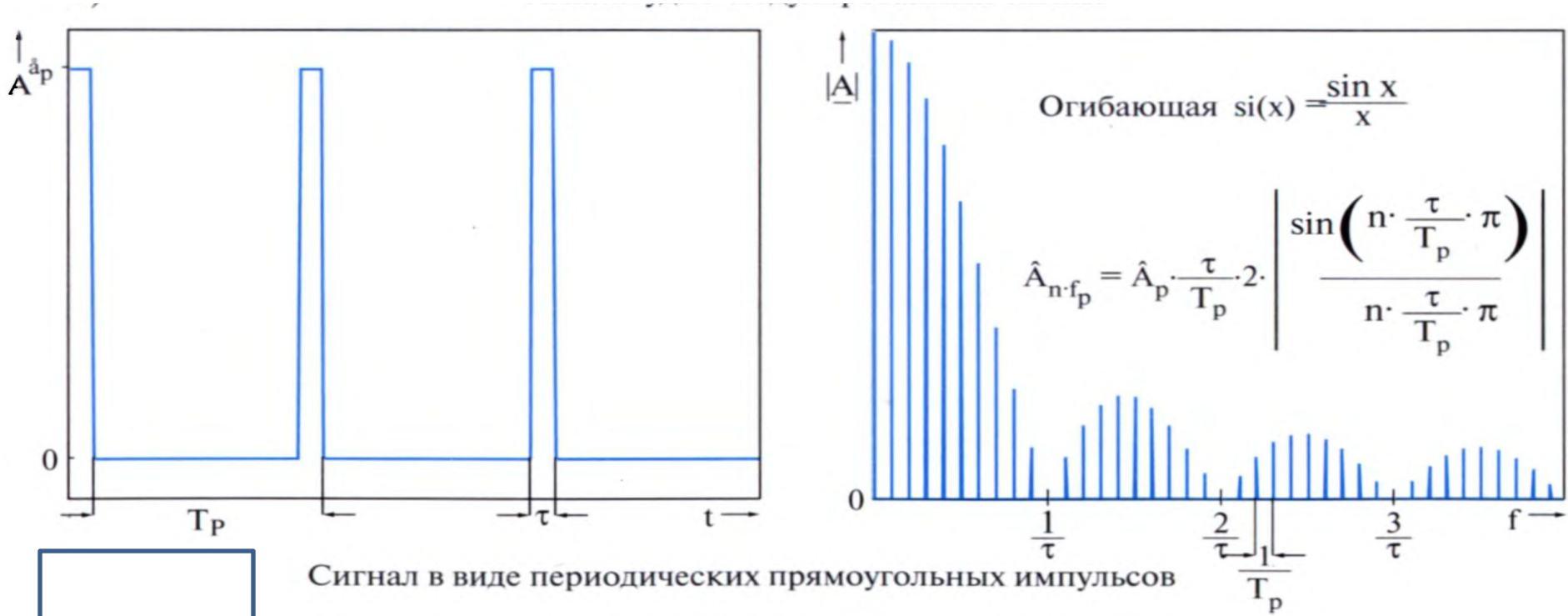
Данное соотношение называется **равенством Парсеваля** для вещественных сигналов.

$$A_n = \frac{A_{m_n}}{\sqrt{2}}$$

Равенство Парсеваля

$$\frac{1}{T} \int_0^T |s(t)|^2 dt = \left(\frac{a_0}{2} \right)^2 + \sum_{k=1}^{\infty} A_k^2$$





*Периодические сигналы во временной и частотной областях
 (спектр амплитуд)*

Вопрос 3. Спектры непериодических сигналов. Теоремы о спектрах.

В подавляющем большинстве случаев в теории и технике связи приходится иметь дело с сигналами, которые по существу являются непериодическими. К таким сигналам аппарат рядов Фурье не применим.

Модель непериодического сигнала как предельного случая периодического сигнала, когда период стремится к бесконечности

Устремим в периодическом сигнале $T \rightarrow \infty$ или $f_1 = 1/T = \omega_1/2\pi \rightarrow 0$

$$s(t) = \frac{1}{2\pi} \sum_{k=-\infty}^{\infty} A_k T e^{jk\omega_1 t} \Delta\omega$$

где $\Delta\omega = \omega_1 = [k\omega_1 - (k-1)\omega_1]$ — разность между частотами соседних гармоник

$$S(j\omega) = \lim_{T \rightarrow \infty} A_k T = \lim_{\Delta\omega \rightarrow 0} \frac{A_k}{\Delta\omega} 2\pi$$

Вопрос 3. Спектры непериодических сигналов.

В подавляющем большинстве случаев в теории и технике связи приходится иметь дело с сигналами, которые по существу являются непериодическими. К таким сигналам аппарат рядов Фурье не применим.

Модель непериодического сигнала как предельного случая периодического сигнала, когда период стремится к бесконечности

Устремим в периодическом сигнале $T \rightarrow \infty$ или $f_1 = 1/T = \omega_1/2\pi \rightarrow 0$

$$s(t) = \frac{1}{2\pi} \sum_{k=-\infty}^{\infty} A_k T e^{jk\omega_1 t} \Delta\omega$$

где $\Delta\omega = \omega_1 = [k\omega_1 - (k-1)\omega_1]$ — разность между частотами соседних гармоник

$$S(j\omega) = \lim_{T \rightarrow \infty} A_k T = \lim_{\Delta\omega \rightarrow 0} \frac{A_k}{\Delta\omega} 2\pi$$

Прямое и обратное преобразование Фурье

$$s(t) = \frac{1}{2\pi} \int_{-\infty}^{\infty} S(j\omega) e^{j\omega t} d\omega \quad - \hat{\imath} \ddot{\imath} \hat{\circ}$$

$$s(t) \xleftrightarrow[\hat{\imath} \ddot{\imath} \hat{\circ}]{\ddot{\imath} \ddot{\imath} \hat{\circ}} \dot{S}(j\omega)$$

$$S(j\omega) = \int_{-\infty}^{\infty} s(t) e^{-j\omega t} dt \quad - \ddot{\imath} \ddot{\imath} \hat{\circ}$$

Обратное преобразование Фурье для сигнала $s(t)$ - **операция синтеза**, поскольку с ее помощью сигнал восстанавливается (синтезируется) из спектральных составляющих.

Прямое преобразование Фурье – **операция анализа** сигнала на основе определения его спектральных составляющих.

Физический смысл спектральной плотности сигнала

Учитывая чётность модуля $S(\omega)$ и нечётность фазы $\varphi(\omega)$, обратное преобразование Фурье можно записать следующим образом

$$s(t) = \frac{1}{\pi} \int_0^{\infty} |S(j\omega)| \cos[\omega t + \varphi(\omega)] d\omega$$

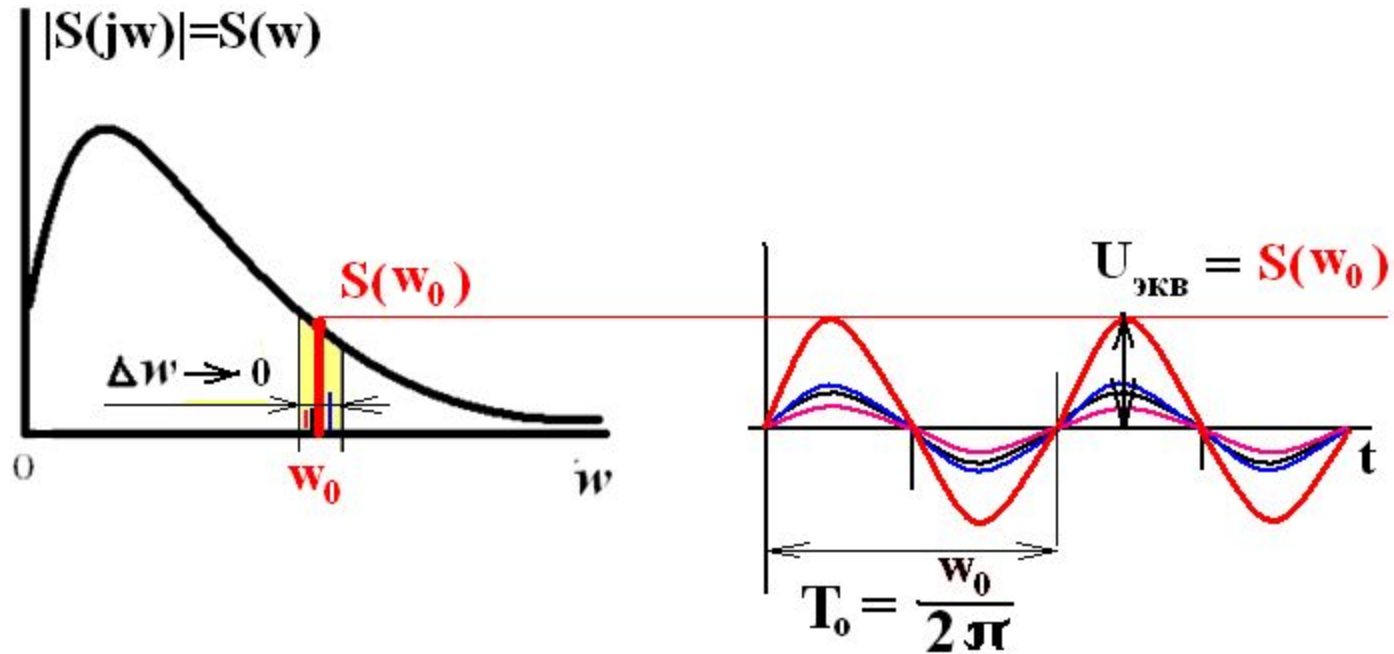
$$\frac{1}{2\pi} S(j\omega) d\omega e^{j\omega t} \qquad \frac{1}{\pi} S(\omega) d\omega \cos[\omega t + \varphi(\omega)]$$

$$|S(j\omega)| = \frac{1}{c} \frac{A_m}{d\omega} \qquad \frac{1}{c} = \pi$$

Спектральная плотность сигнала является комплексной амплитудой эквивалентной гармонике на соответствующей опорной частоте .

Эквивалентная гармоника есть результат когерентного сложения бесконечно большого числа гармоник с бесконечно малыми амплитудами расположенными в бесконечно малом по частоте диапазоне в районе выбранной (опорной) частоты.

СПЕКТРАЛЬНАЯ ПЛОТНОСТЬ и ЭКВИВАЛЕНТНАЯ ГАРМОНИКА



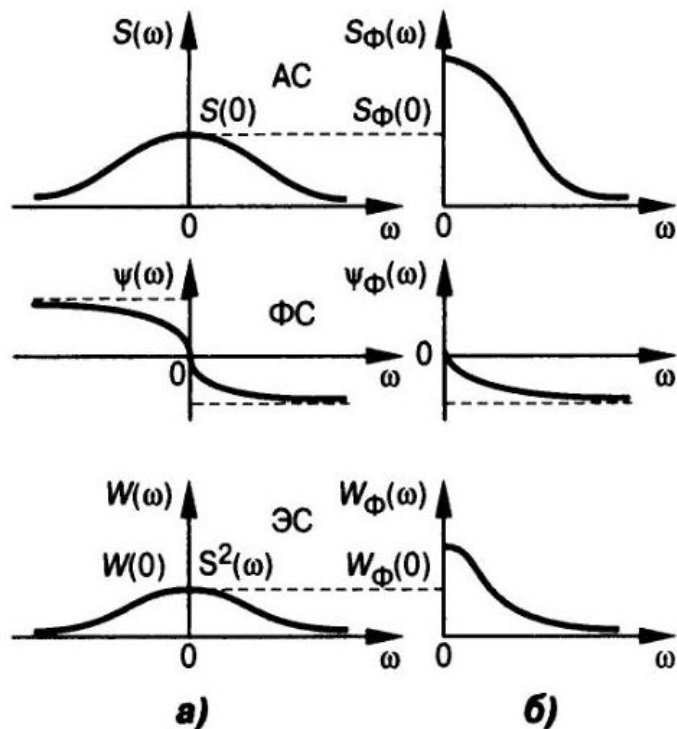
Математический и Физический спектр неперiodического сигнала

Сопоставим комплексную и амплитудно-фазовую формы ОПФ.
Учитывая чётность модуля $S(\omega)$ и нечётность фазы $\varphi(\omega)$, обратное преобразование Фурье можно записать следующим образом

$$s(t) = \frac{1}{2 \cdot \pi} \int_0^{\infty} 2S(\omega) \cos[\omega t + \varphi(\omega)] d\omega$$

$$s(t) = \frac{1}{2 \cdot \pi} \int_{-\infty}^{\infty} S(\omega) \cdot e^{j[\omega t + \varphi(\omega)]} d\omega$$

$$S_{\Phi}(\omega) = 2S(\omega)1(\omega) = \begin{cases} 2S(\omega); & \omega \geq 0 \\ S(0); & \omega = 0 \\ 0; & \omega < 0 \end{cases}$$



Вопрос 4. Свойства преобразования Фурье

Теорема сложения спектров гласит: спектр суммы колебаний равен сумме спектров слагаемых колебаний.

Теорема временного сдвига (запаздывания) формулируется следующим образом: при сдвиге колебания во времени (изменении начального момента отсчёта времени) спектральная плотность амплитуд сохраняется постоянной, а спектр фаз изменяется на величину, пропорциональную частоте и времени сдвига с учётом его знака.

Теорема смещения (модуляции): умножение колебания $S(t)$ на $e^{j\omega_0 t}$ приводит к смещению его спектра на величину ω_0 .

Теорема об изменении масштаба: растяжение колебания во времени ($a > 1$) влечёт за собой сжатие его частотного спектра и увеличение спектральной плотности амплитуд. Сжатие колебания во времени ($a < 1$) приводит к расширению его частотного спектра и уменьшению спектральной плотности амплитуд.

Теорема о свёртке: свёртка двух колебаний $S_1(t)$ и $S_2(t)$ соответствует перемножению их спектров.

Вопрос 4. Свойства преобразования Фурье

№ п/п	Название теоремы	Временное представление	Спектральное представление
1	Теорема сложения	$S(t) = S_1(t) + S_2(t)$	$S(j\omega) = S_1(j\omega) + S_2(j\omega)$
2	Теорема временного сдвига	$S_1(t) = S(t \boxtimes t_0)$	$S_1(j\omega) = S(j\omega)e^{\boxtimes j\omega t_0}$
3	Теорема смещения (модуляции)	$S_1(t) = S(t)e^{\pm j\omega_0 t}$	$S_1(j\omega) = S(j(\omega \boxtimes \omega_0))$
4	Теорема об изменении масштаба	$S_1(t) = S\left(\frac{t}{a}\right)$	$S_1(j\omega) = aS(ja\omega)$
5	Теорема о дифференцировании	$S_1(t) = \frac{dS(t)}{dt}$	$S_1(j\omega) = j\omega S(j\omega)$
6	Теорема об интегрировании	$S_1(t) = \int_{-\infty}^t S(t)dt$	$S_1(j\omega) = \left(\frac{1}{j\omega}\right)S(j\omega)$
7	Теорема о свёртке	$S(t) = \int_{-\infty}^{\infty} S_1(\tau)S_2(t-\tau)d\tau = S_1(t) * S_2(t)$	$S(j\omega) = S_1(j\omega)S_2(j\omega)$
8	Преобразование Фурье	$\left\{ \begin{array}{l} S_1(t) = \frac{1}{2\pi} \int_{-\infty}^{\infty} S(j\omega)e^{j\omega t} d\omega \\ S(j\omega) = \int_{-\infty}^{\infty} S(t)e^{-j\omega t} dt \end{array} \right.$	

Лекция № 3

Энергетические и корреляционные модели непериодических сигналов.

Учебные вопросы:

- 1. Энергетические модели T-финитных сигналов.**
- 2. Распределение энергии в спектре непериодического сигнала**
- 3. Эффективная ширина спектра сигнала.**
- 4. Корреляционные модели детерминированных сигналов**
- 5. Свертка двух сигналов во временной и частотной области**

Литература:

Стр. 53..54;

Используя MathCAD рассчитать и построить АКФ

Четные номера : Прямоугольный (1) и SINC-образный (5)

Нечетные номера : треугольный (2) и косинусоидальный (3).

Используя MathCAD рассчитать и построить энергетические спектры для импульсных сигналов с использованием обратного

преобразования Фурье от АКФ сигнала

Четные номера : пилообразный возрастающий.

Нечетные номера : пилообразный ниспадающий.

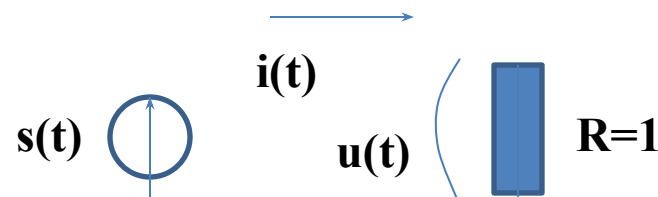


Вопрос 1. Энергетические модели Т-финитных сигналов.

Основными энергетическими характеристиками вещественного сигнала $\mathbf{s}(t)$ являются его мощность и энергия.

Мгновенная мощность определяется как квадрат мгновенного значения $\mathbf{s}(t)$:

$$p(t) = u(t) \cdot i(t) = i(t)R \cdot i(t) = i^2(t) = \\ = u(t) \cdot \frac{u(t)}{R} = u^2(t) = s^2(t)$$



Энергия сигнала на интервале t_2, t_1 определяется как интеграл от мгновенной мощности:

$$E_s = \int_{t_1}^{t_2} p(t) dt = \int_{t_1}^{t_2} s^2(t) dt$$

Средняя мощность сигнала $\mathbf{s}(t)$ на интервале t_2, t_1 .

$$\frac{E_s}{t_2 - t_1} = \frac{1}{t_2 - t_1} \int_{t_1}^{t_2} s^2(t) dt = \overline{s^2(t)}$$

Вопрос2. Распределение энергии в спектре непериодического сигнала

Рассмотрим выражение скалярного произведения

$$\int_{-\infty}^{\infty} f(t)g(t)dt, \quad \text{в котором } f(t)=g(t)=s(t).$$

Равенства Парсеваля и обобщенная формула Рэлея.

$$\int_{-\infty}^{\infty} s^2(t)dt = \frac{1}{2\pi} \int_{-\infty}^{\infty} S(\omega)S^*(\omega)d\omega = \frac{1}{2\pi} \int_{-\infty}^{\infty} |S(\omega)|^2 d\omega = \frac{1}{2\pi} \int_{-\infty}^{\infty} G(\omega)d\omega = E_s$$

Энергетический спектр сигнала

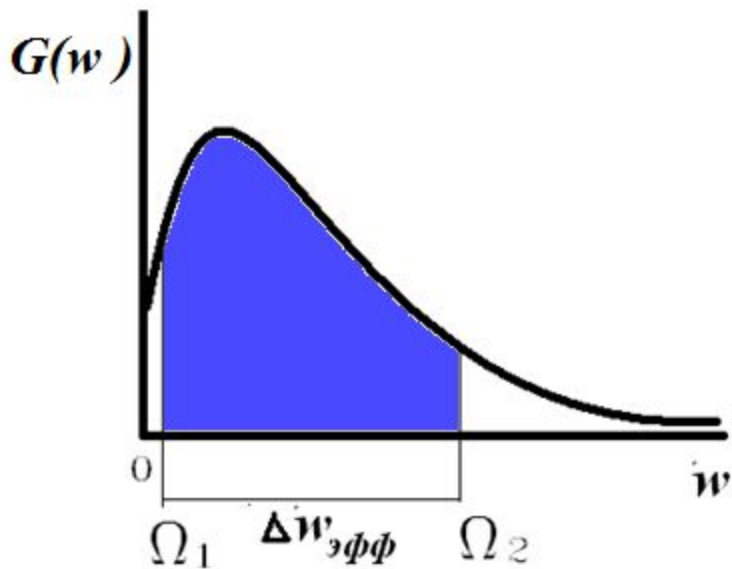
$$S(\omega)S^*(\omega) = |S(\omega)|^2 = G(\omega)$$

Распределение энергии в спектре вещественного непериодического сигнала

$$\int_{-\infty}^{\infty} s^2(t)dt = \frac{1}{2\pi} \int_{-\infty}^{\infty} S(\omega)S(\omega)d\omega = \frac{1}{2\pi} \int_{-\infty}^{\infty} [S(\omega)]^2 d\omega = \frac{1}{\pi} \int_0^{\infty} [S(\omega)]^2 d\omega = E_s$$

Вопрос 3. Эффективная ширина спектра сигнала

Полоса частот $\Delta\omega_{\text{эфф}}$ физического спектра сигнала в пределах которой находится основная часть энергии спектральных гармоник (например $>90\%$)



$$\frac{E_{\Delta\omega}}{E_s} = \frac{\frac{1}{2\pi} \int_{\Omega_2}^{\Omega_1} |S(\omega)|^2 d\omega}{\frac{1}{2\pi} \int_{-\infty}^{\infty} |S(\omega)|^2 d\omega} > 90\% E_s$$

$$\frac{1}{\pi} \int_{\Omega_1}^{\Omega_2} G(\omega) d\omega = 0.9 E_s$$

$$\Delta\omega = \Omega_2 - \Omega_1$$

Вопрос №4. Корреляционные модели детерминированных сигналов

Корреляция – количественная характеристика степени подобия (похожести) двух сигналов.

Корреляционная функция.

Корреляционная функция – зависимость корреляции двух в общем случае комплексных сигналов от временного сдвига τ между ними.

Для сигналов с ограниченной энергией.

$$B_{u,v}(\tau) = \int_{-\infty}^{\infty} u(t)v^*(t+\tau)dt.$$

Для сигналов с конечной средней мощностью.

$$B_{u,v}(\tau) = \lim_{T \rightarrow \infty} \frac{1}{T} \int_{-T/2}^{T/2} u(t)v^*(t+\tau)dt.$$

Для периодических сигналов .

$$B_{u,v}(\tau) = \frac{1}{T} \int_{-T/2}^{T/2} u(t)v^*(t+\tau)dt.$$

Автокорреляционная функция вещественного сигнала (АКФ).

Это корреляционная функция двух одинаковых сигналов - самого сигнала $\mathbf{s}(\mathbf{t})$ и его копии, задержанной во времени $\mathbf{s}(\mathbf{t}-\boldsymbol{\tau})$, рассматриваемая как функция времени задержки $\boldsymbol{\tau}$.

$$R_s(\boldsymbol{\tau}) = \int_{-\infty}^{\infty} s(t)s(t+\boldsymbol{\tau})dt = \int_{-\infty}^{\infty} s(t-\boldsymbol{\tau})s(t)dt.$$

Свойства АКФ вещественного сигнала $R(\boldsymbol{\tau})$.

- ✓ АКФ определяет *взаимную энергию* сигнала и его копии, задержанной во времени и измеряется в Джоулях.
- ✓ АКФ *действительная* и *четная функция* сдвига во времени $\boldsymbol{\tau}$: $R(\boldsymbol{\tau})=R(-\boldsymbol{\tau})$.
График АКФ симметричен .
- ✓ АКФ достигает максимума при $\boldsymbol{\tau}=\mathbf{0}$ и максимальное значение АКФ равно *ЭНЕРГИИ* сигнала \mathbf{E}_s . Поэтому $R(\mathbf{0})=\mathbf{E}_s > R(\boldsymbol{\tau})$

Связь АКФ сигнала $R(\tau)$ с его энергетическим спектром $W(\omega)$.

АКФ $R(\tau)$ и энергетический спектр сигнала $S(\omega)S^*(\omega) = |S(\omega)|^2 = W(\omega)$
ОДНОЗНАЧНО связаны парой преобразований Фурье.

$$R(\tau) = \frac{1}{2\pi} \int_{-\infty}^{\infty} G(\omega) e^{j\omega\tau} d\omega$$

$$G(\omega) = \int_{-\infty}^{\infty} R(\tau) e^{-j\omega\tau} d\tau$$

Однозначно восстановить сигнал $s(t)$ по его АКФ $R(\tau)$ невозможно, так как энергетический спектр $G(\omega)$, а значит и АКФ не содержат информацию о фазовом спектре сигнала.

АКФ периодического вещественного сигнала $s(t+kT)$.

Это действительная периодическая корреляционная функция, измеряемая единицами средней мощности за период повторения (ВАТТЫ), четная по аргументу τ , максимумы повторяются через период повторения T .

$$R_s(\tau) = \frac{1}{T} \int_{-\frac{T}{2}}^{\frac{T}{2}} s(t)s(t+\tau)dt = \int_{-\frac{T}{2}}^{\frac{T}{2}} s(t-\tau)s(t)dt.$$

АКФ периодического сигнала связана с его линейчатым спектром через ряд Фурье:

$$R_s(\tau) = \sum_{k=-\infty}^{\infty} |C_k|^2 e^{j\frac{2\cdot\pi}{T}k\tau} = \left(\frac{a_0}{2}\right)^2 + \sum_{k=0}^{\infty} A_k^2 \cdot \cos\left(\frac{2\cdot\pi}{T} \cdot k \cdot \tau\right).$$

Примеры:

[Пример1.](#)

Свертка двух сигналов во временной и частотной области

Под сверткой понимается математическая операция, которая выполняется в соответствии со следующим алгоритмом:

1. Второй сигнал отображается зеркально симметрично.
2. Второй сигнал задерживается по времени от $-\infty$ до $+\infty$.
3. Для каждого времени задержки находится произведение с первым сигналом.
4. Результаты произведений, полученные при каждом времени задержки суммируются.

$$y_{s,g}(t) = \int_{-\infty}^{+\infty} s(\tau)g(t-\tau)d\tau = s(t) \otimes g(t).$$

Согласно свойства преобразования Фурье свертке во временной области соответствует перемножение спектров двух сигналов в частотной области.

$$y_{s,g}(t) = s(t) \otimes g(t) \Leftrightarrow Y_{s,g}(j\omega) = S(j\omega) \cdot G(j\omega).$$

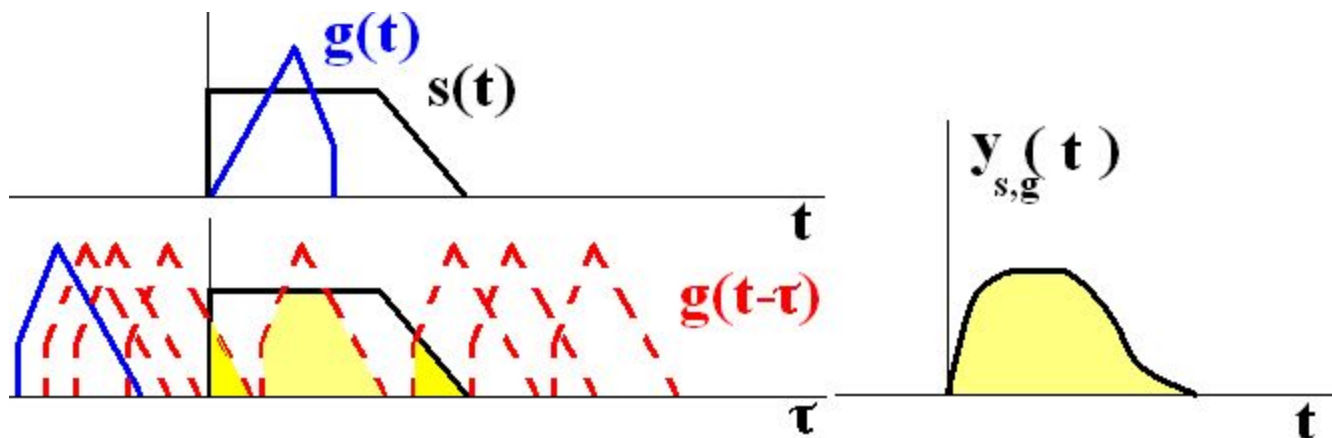
Если второй сигнал является зеркальной комплексно-сопряженной копией первого сигнала, то результатом свертки таких сигналов является АКФ сигнала.

Свертка двух сигналов во временной и частотной области

Под сверткой понимается математическая операция, которая выполняется в соответствии со следующим алгоритмом:

1. Второй сигнал отображается зеркально симметрично.
2. Второй сигнал задерживается по времени от $-\infty$ до $+\infty$.
3. Для каждого времени задержки находится произведение с первым сигналом.
4. Результаты произведений, полученные при каждом времени задержки суммируются.

$$y_{s,g}(t) = \int_{-\infty}^{+\infty} s(\tau)g(t-\tau)d\tau = s(t) \otimes g(t).$$



Свойства свертки

КОММУТАТИВНОСТЬ

$$s(t) \otimes g(t) = g(t) \otimes s(t).$$

$$y_{s,g}(t) = \int_{-\infty}^{+\infty} s(\tau)g(t-\tau)d\tau = y_{g,s}(t) = \int_{-\infty}^{+\infty} g(\tau)s(t-\tau)d\tau.$$

ДИСТРИБУТИВНОСТЬ

$$s(t) \otimes [g(t) + u(t)] = s(t) \otimes g(t) + s(t) \otimes u(t).$$

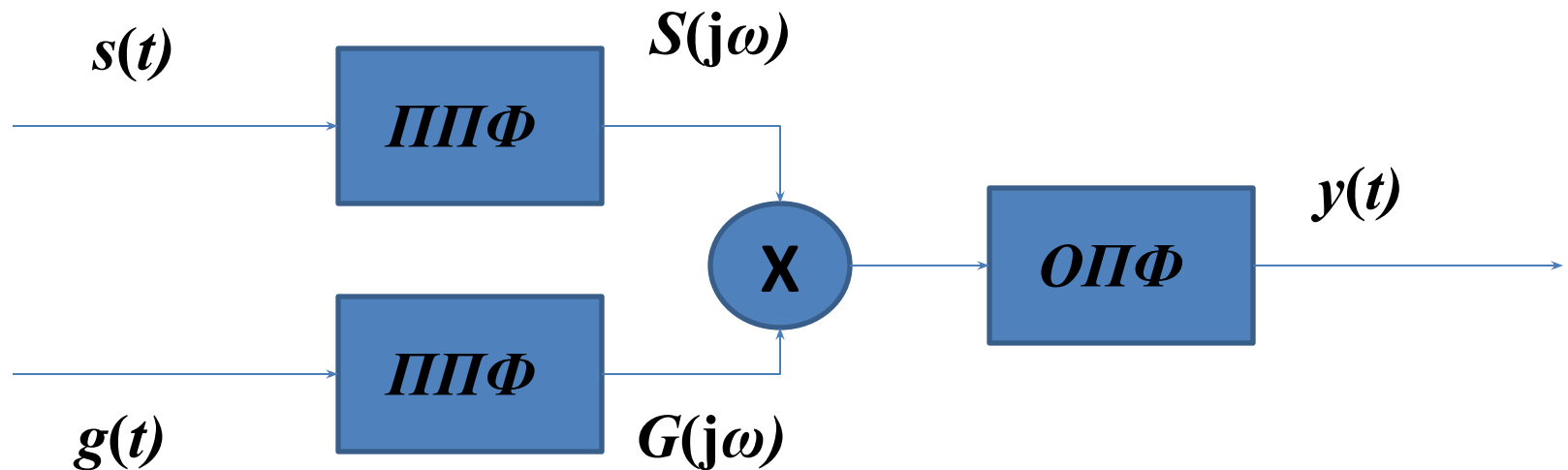
АССОЦИАТИВНОСТЬ

$$s(t) \otimes [g(t) \otimes u(t)] = [s(t) \otimes g(t)] \otimes u(t).$$

Выполнение свертки в частотной области

Согласно свойства преобразования Фурье свертке во временной области соответствует перемножение спектров двух сигналов в частотной области.

$$y_{s,g}(t) = s(t) \otimes g(t) \Leftrightarrow Y_{s,g}(j\omega) = S(j\omega) \cdot G(j\omega).$$

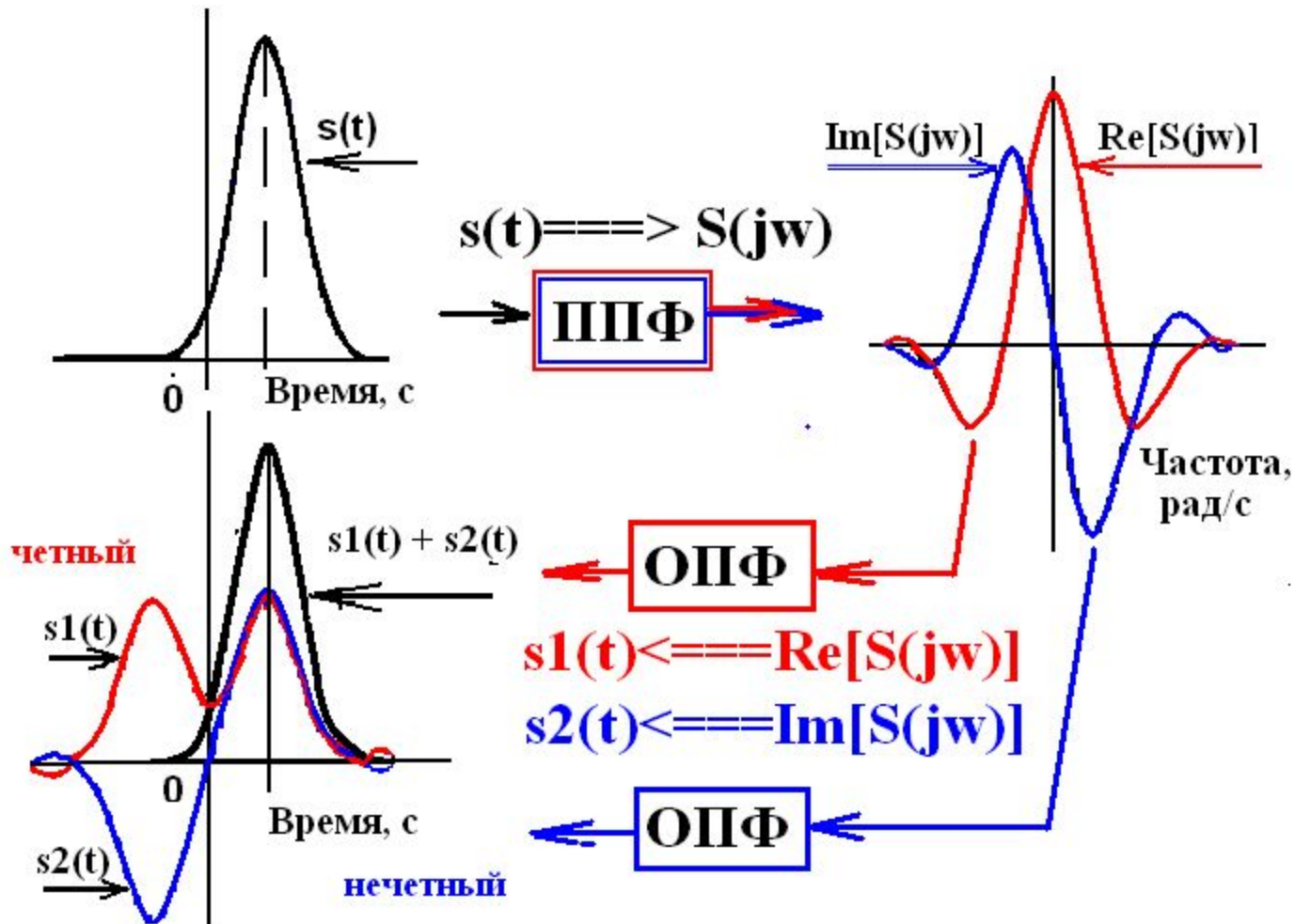


Если второй сигнал является зеркальной комплексно-сопряженной копией первого сигнала, то результатом свертки таких сигналов является АКФ сигнала.

Вопрос 4. Аналитический сигнала

Комплексное представление вещественного сигнала

$$s(t) = \text{Re}[s(t)] \quad u(t) = U \cdot \cos(\omega t + \varphi) = \text{Re}[U \cdot e^{j\omega t} \cdot e^{j\varphi}]$$



Сигнал, сопряженный с вещественным сигналом.

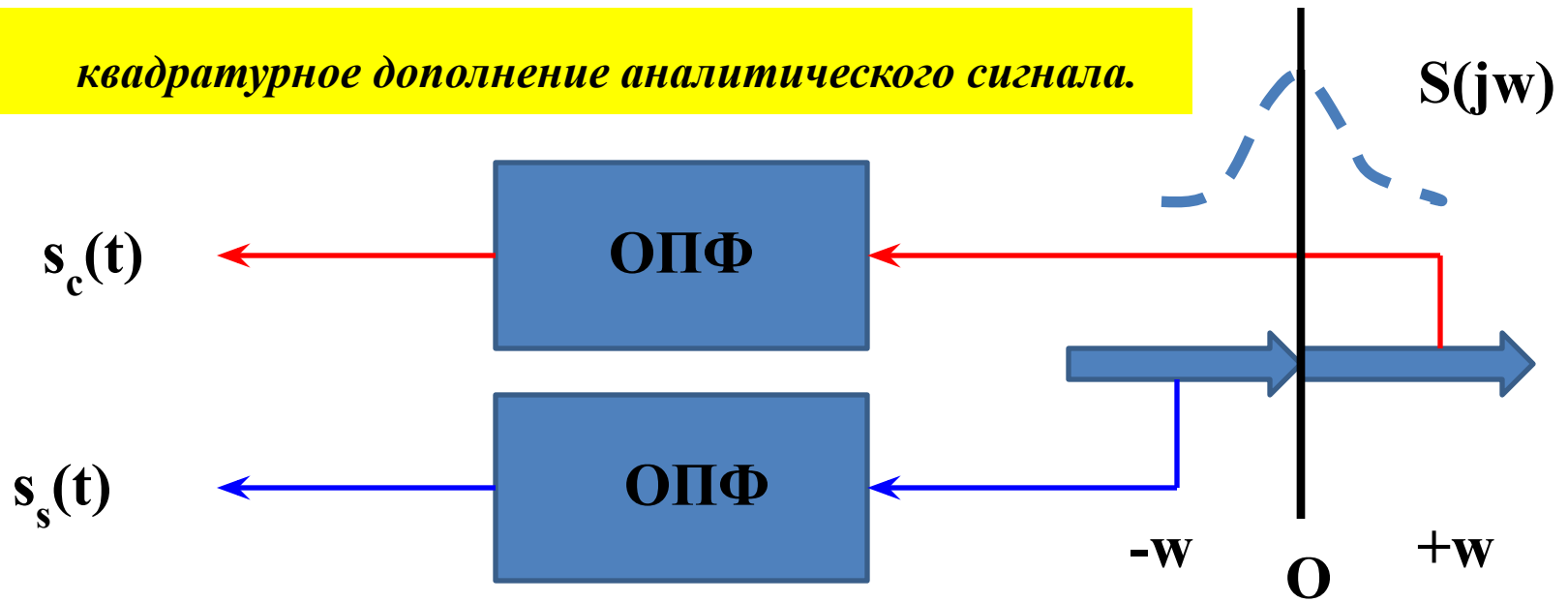
$$s(t) = \frac{1}{2\pi} \int_{-\infty}^0 S(j\omega) e^{j\omega t} d\omega + \frac{1}{2\pi} \int_0^{\infty} S(j\omega) e^{j\omega t} d\omega = s_c(t) + s_s(t)$$

Аналитический сигнал, отображающий вещественный сигнал

$$z_s(t) = \frac{1}{\pi} \int_0^{\infty} S(j\omega) e^{j\omega t} d\omega = \text{Re}[z_s(t)] + j \cdot \text{Im}[z_s(t)]$$

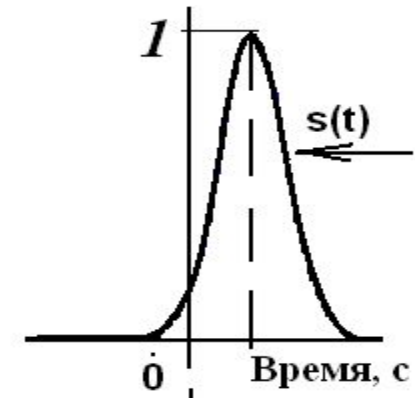
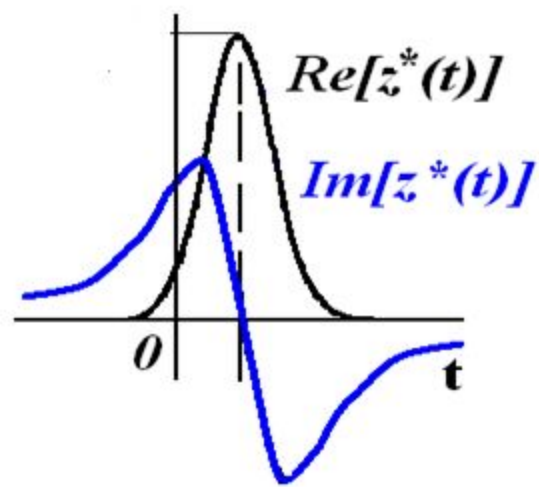
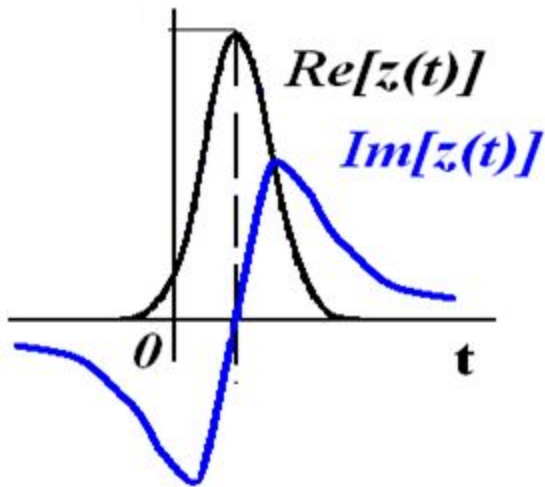
$$z_s(t) = s(t) + j \cdot \bar{s}(t) \quad z_s^*(t) = s(t) - j \cdot \bar{s}(t)$$

$\bar{s}(t)$ *квадратурное дополнение аналитического сигнала.*



Представление вещественного сигнала с использованием аналитического сигнала

$$s(t) = \frac{z_s(t) + z_s^*(t)}{2} = \operatorname{Re}[z_s(t)]$$



Преобразование Гильберта

Реальная и мнимая части спектра произвольных каузальных сигналов связаны преобразованием Гильберта.

Вещественный сигнал и его квадратурное дополнение связаны преобразованием Гильберта

Преобразование Гильберта есть свертка сигнала и ядра $1/\pi t$

$$s(t) = - \int_{-\infty}^{\infty} \bar{s}(\tau) \cdot \left[\frac{1}{\pi} \cdot \frac{1}{t-\tau} \right] d\tau = - \frac{1}{\pi} \cdot \int_{-\infty}^{\infty} \frac{\bar{s}(\tau)}{t-\tau} d\tau$$

$$\bar{s}(t) = \int_{-\infty}^{\infty} s(\tau) \cdot \left[\frac{1}{\pi} \cdot \frac{1}{t-\tau} \right] d\tau = \frac{1}{\pi} \cdot \int_{-\infty}^{\infty} \frac{s(\tau)}{t-\tau} d\tau$$

Реальная и мнимая части спектра произвольных каузальных сигналов связаны преобразованием Гильберта.

$$Z_s(j\omega) = \int_{-\infty}^{\infty} z_s(t) \cdot e^{-j\omega t} dt = S(j\omega) + j\bar{S}(j\omega) =$$

$$Z_s(j\omega) = \begin{cases} 0, & \omega < 0 \\ 2 \cdot S(j\omega), & \omega \geq 0 \end{cases}$$

$$\bar{S}(j\omega) = -j \cdot \text{signum}(\omega) \cdot S(j\omega)$$

